

東京工業大学 正会員 福田捷二  
日本下水道事業団 正会員 石田 貴

まえがき Falco<sup>1)</sup> は流れの可視化から境界層の代表渦はキノコ状の渦輪であることを見出した。Sutherland<sup>2)</sup> は境界層の乱れをピストンの運動によってつくられる渦輪からなる pulsating jet をモデル化し、pulsating jet と底面の砂粒子の浮遊限界の関係を実験的に調べた。本研究は、閉水路底面からの砂粒子浮上がこの渦輪によつて誘起される流れに起因するものと考え、粒子の浮遊限界について Sutherland の実験値を用いて考察を試みた。

理論解析 図-1に示すように循環円の渦輪が底面に近づく時、P点に生ずる速度は、渦輪の径 D が不变であると仮定すると、Biot-Savart の法則と鏡像の原理から次式で表わされる。

$$U_x = \frac{P}{\pi D} \left( \frac{z-c}{D} \right) \int_0^{2\pi} \frac{\cos \theta \cdot d\theta}{\{(\epsilon - \cos \theta)^2 + \sin^2 \theta + 4\left(\frac{z-c}{D}\right)^2\}^{3/2}} + \frac{P}{\pi D} \left( \frac{z+c}{D} \right) \int_0^{2\pi} \frac{\cos \theta \cdot d\theta}{\{(\epsilon - \cos \theta)^2 + \sin^2 \theta + 4\left(\frac{z+c}{D}\right)^2\}^{3/2}} \quad (1)$$

$$U_z = \frac{P}{2\pi D} \int_0^{2\pi} \frac{(1 - \epsilon \cos \theta) d\theta}{\{(\epsilon - \cos \theta)^2 + \sin^2 \theta + 4\left(\frac{z-c}{D}\right)^2\}^{3/2}} - \frac{P}{2\pi D} \int_0^{2\pi} \frac{(1 - \epsilon \cos \theta) d\theta}{\{(\epsilon - \cos \theta)^2 + \sin^2 \theta + 4\left(\frac{z+c}{D}\right)^2\}^{3/2}} \quad (2)$$

(1)式の  $\beta$  は渦核の軸と通じ鉛直線上 ( $\epsilon=1.0$ ) で最大となる。この位置での  $z/D$  と  $U_x$  の鉛直分布の関係を図-2 に示す。図-3 は底面における渦核中心軸上の速度である。 $\beta$  が小さくなれば  $U_x$  は限りなく大きくなるが、実際には粘性の影響のためにこのようなことは起り得ず渦輪が底に近づき得る限界がある。まず限界高さをエネルギー式と流量の連続式より求め、渦輪がその位置にある時の底面の流速を求める。

ピストンより押出された流体の運動エネルギーは噴出口径を  $a$  ピストンの幅中 A、角周波数を  $\omega$  とする (3)式で表わされる。

$$E_0 = \frac{1}{2} P \frac{\pi a^2}{4} A \cdot U^2 = \frac{1}{2} P \pi a^2 A^3 \omega^2 \quad (3)$$

一方 渦輪の運動エネルギー  $E$  は次の4つからなる。

$$\begin{aligned} E &= \text{渦核の回転運動エネルギー} (E_1) \\ &+ \text{渦核の移動運動エネルギー} (E_2) \\ &+ \text{渦核外の回転運動エネルギー} (E_3) \\ &+ \text{渦輪の運動により周囲の流体を排除} \\ &\text{するためにはじめエネルギー} (E_4) \end{aligned} \quad (4)$$

渦核の直径を  $d$  とすると 渦輪の移動速度は Lamb<sup>3)</sup> で  $v = d \omega / 2$

$$V = \frac{P}{4\pi D} \left( \ln \frac{8D}{d} - \frac{1}{4} \right) \quad (5)$$

で与えられる。  $\omega'$  は渦核の回転角速度とすると 運動エネルギーの各成分は

$$E_1 = \frac{1}{2} P \pi D \int_{\frac{d}{2}}^{\frac{d}{2}} 2\pi r (r\omega')^2 dr = P \pi^2 D \omega'^2 \frac{d^4}{64} \quad (6)$$

$$E_2 = \frac{1}{2} P \pi D \frac{\pi d^2}{4} V^2 = \frac{1}{128} P \frac{d^2}{D} T^2 \left( \ln \frac{8D}{d} - \frac{1}{4} \right)^2 \quad (7)$$

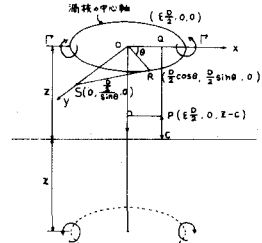


図-1 境界付近の渦輪の模式図

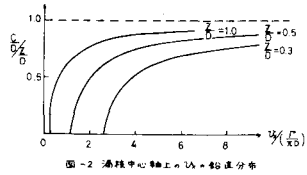
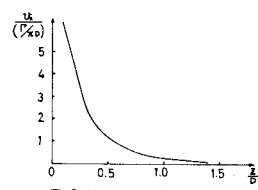
図-2 渦核中心軸上への  $U_x$  の鉛直分布

図-3 底面における渦核中心軸上の速度

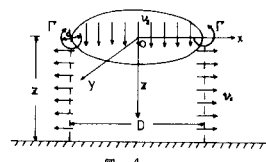


図-4

$$E_3 = \frac{1}{2} \rho \pi D \int_{\frac{d}{2}}^{\frac{D}{2}} 2\pi r (v_x^2 + v_z^2) dr \quad (8)$$

$$E_4 = \frac{1}{2} \rho \pi D \frac{\pi}{4} d_o^2 v^2 = \frac{1}{128} \rho \frac{d_o^2}{D} P^2 \left( \ln \frac{8D}{d} - \frac{1}{4} \right)^2 \quad (9)$$

である。ここに、 $d_o$  は渦輪断面の回転部分の直径で円を仮定している。  
循環の不变を仮定すると jet の出口で液体のも、こいた循環は渦輪でも保存されるので 循環(近似的に) (10) 式で表わされる。

$$P = \frac{\pi}{2} d^2 \omega' = \frac{2 \alpha A^2}{D} \omega \quad (10)$$

次に回転運動する流体の流量の連続式を考える。図-4の OXY 平面で、  
渦核の中の軸内を通過する流体は 速度成分として  $v_z$  のみをもち 点線で示した円筒の側面を通過する流体は  $v_x$  のみをもつ。渦核部分の流量(は等しいのでこの部分の流量を除く) 2つの面を通過する流量は それそれ

$$Q_x = \pi D \int_0^{z-d/2} v_x dz \quad (11), \quad Q_z = \frac{\pi D^2}{2} \int_{-d/2}^{1-d/2} v_z dz \quad (12)$$

である。(1) 式で  $c = \eta D/2$  の変数変換をし、 $\varepsilon = 1.0$ , (2) 式で  $c = z$  とき、それぞれ (11), (12) 式に代入する。  $Q_x = Q_z$  より 次式を得る。

$$\begin{aligned} & \int_0^{\frac{2\pi}{D}-\frac{d}{D}} \left( \left( \frac{2\pi}{D} - \eta \right) \int_0^{2\pi} \frac{\cos \theta d\theta}{\{(1-\cos \theta)^2 + \sin^2 \theta + (\frac{2\pi}{D} - \eta)^2\}^{\frac{3}{2}}} + \left( \frac{2\pi}{D} + \eta \right) \int_0^{2\pi} \frac{\cos \theta d\theta}{\{(1-\cos \theta)^2 + \sin^2 \theta + (\frac{2\pi}{D} + \eta)^2\}^{\frac{3}{2}}} \right) d\eta \\ &= \int_0^{1-\frac{d}{D}} \left[ \int_0^{2\pi} \frac{(1-\varepsilon \cos \theta) d\theta}{\{(\varepsilon - \cos \theta)^2 + \sin^2 \theta\}^{\frac{3}{2}}} - \int_0^{2\pi} \frac{(1+\varepsilon \cos \theta) d\theta}{\{(\varepsilon + \cos \theta)^2 + \sin^2 \theta + 16\varepsilon^2/D^2\}^{\frac{3}{2}}} \right] \varepsilon d\varepsilon \quad (13) \end{aligned}$$

渦輪が図-4の運動状態にある時 (8), (9) 式の  $d\eta/2$  と  $z = \varepsilon$  とをとると (8) 式は  $v_x$  のみを考慮すればよいことになる。(8) 式に  $\varepsilon = 1.0$ ,  $\eta = \frac{D}{2}(z-c)$  の変数変換をし、(3), (6), (7), (8), (9), (10) 式を (4) 式に代入する。  $E_0 = E$  の条件から

$$\begin{aligned} 2\pi \frac{D}{A} &= 1 + \frac{1}{8} \left( \frac{d}{D} \right)^2 \left( \ln \frac{8D}{d} - \frac{1}{4} \right)^2 + \int_{\frac{d}{2}}^{\frac{2\pi}{D}} \left[ \left( \int_0^{2\pi} \frac{\cos \theta d\theta}{\{(1-\cos \theta)^2 + \sin^2 \theta + \eta^2\}^{\frac{3}{2}}} \right. \right. \\ &\quad \left. \left. + \left( \frac{4\pi}{D} - \eta \right) \int_0^{2\pi} \frac{\cos \theta d\theta}{\{(1-\cos \theta)^2 + \sin^2 \theta + (\frac{4\pi}{D} - \eta)^2\}^{\frac{3}{2}}} \right)^2 d\eta + \frac{1}{2} \left( \frac{\pi}{D} \right)^2 \left( \ln \frac{8D}{d} - \frac{1}{4} \right)^2 \right] \end{aligned} \quad (14)$$

を得る。 Sutherland の実験では 底面の砂粒子が最初に動き始めた位置は  $z \approx 0.8a$  である。 渦輪によって生じる速度は  $z = D/2$  で最大であるので  $D \approx 1.6a$  とし (13), (14) 式に代入すると両式は  $z/D$  と  $d/D$  のみの関数となる。(13), (14) 式から求めた渦輪が底に近づき得る限界の高さ  $z$  を図-5 に示す。 図-6 は砂粒子浮遊限界時の Sutherland の実験値  $2\pi D/A$  と図-3, 図-5 より求めた砂粒子浮遊限界の流速を示す。砂粒子特性が一定であれば 浮遊限界の流速はほぼ一定と考えられる。 $2 < A < 6$  では 解け抜けた一定の性質をよく表現しているといえる。しかし  $A$  が小さい場合と大きい場合では  $v_x$  や  $v_z$  が大きくなればならず、この時 渦輪間相互の干渉が起る。

一方、 $A$  が大の時には ピストンから押出された流体は 噴流状となる。これらの場合には、渦輪の理論では現象を説明し得ない。Sutherland の砂粒子浮遊限界時の流速を hot wire を用いて測定した値は(流速測定の位置は明確には示されていない)  $d_s = 0.098 \text{ mm}$  の時、 $v_x = 9.4 \text{ cm/s}$ ,  $d_s = 0.564 \text{ mm}$  の時、 $v_x = 17.6 \text{ cm/s}$  である。

1) Willmarth, W. (1974), Advances in Applied Mech., 2) Sutherland, A. J. (1966), Ph.D thesis, Calif. Inst. of Technology, 3) Lamb, H. (1963), Hydrodynamics.

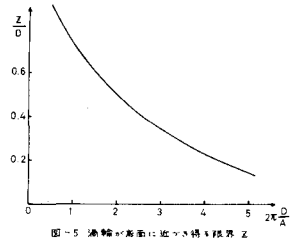


図-5 漩輪・底面に近づく時の境界

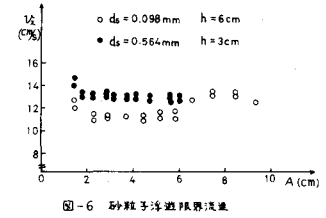


図-6 砂粒子浮遊限界流速